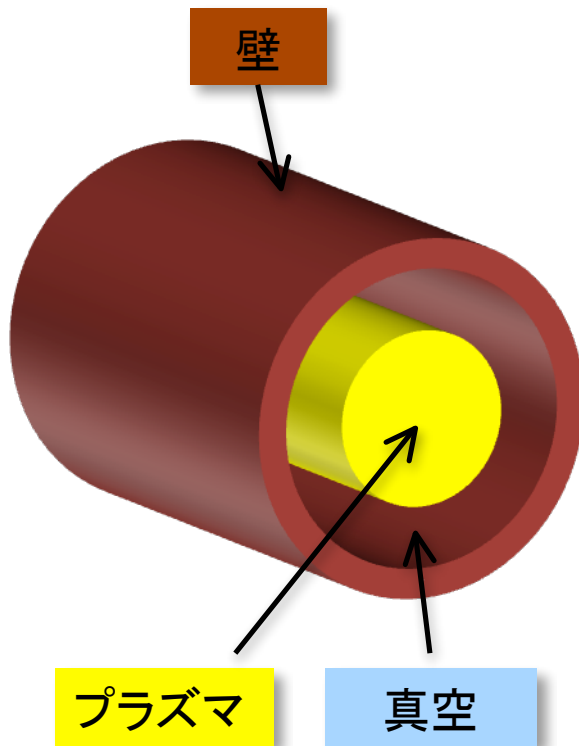


円柱トカマクにおける抵抗性壁 モードの非線形シミュレーション

佐藤雅彦, 中島徳嘉

核融合科学研究所 理論・シミュレーション研究センター

抵抗性壁モード



壁が存在しないと外部キンクモードが不安定

壁が完全導体壁

壁が抵抗性導体壁

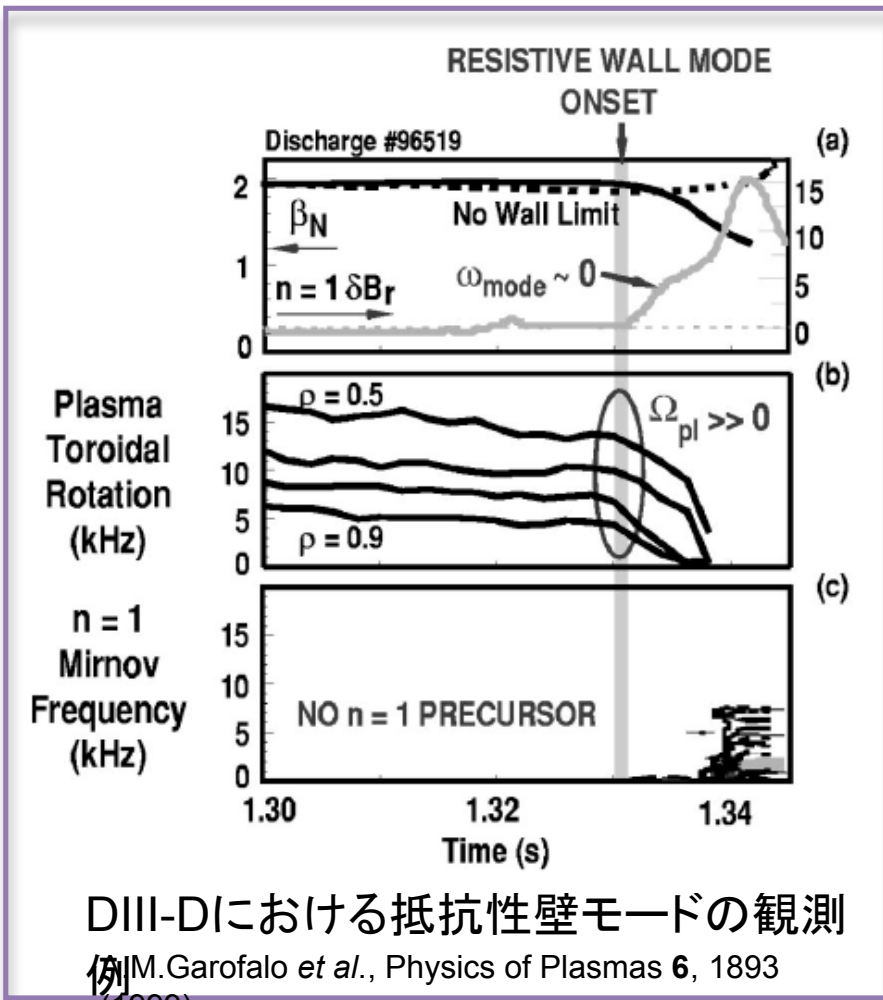
壁をプラズマ表面近くに置くことで完全に安定化

壁をプラズマ表面近くに置いても不安定



抵抗性壁モード

抵抗性壁モードによるベータ値の制限



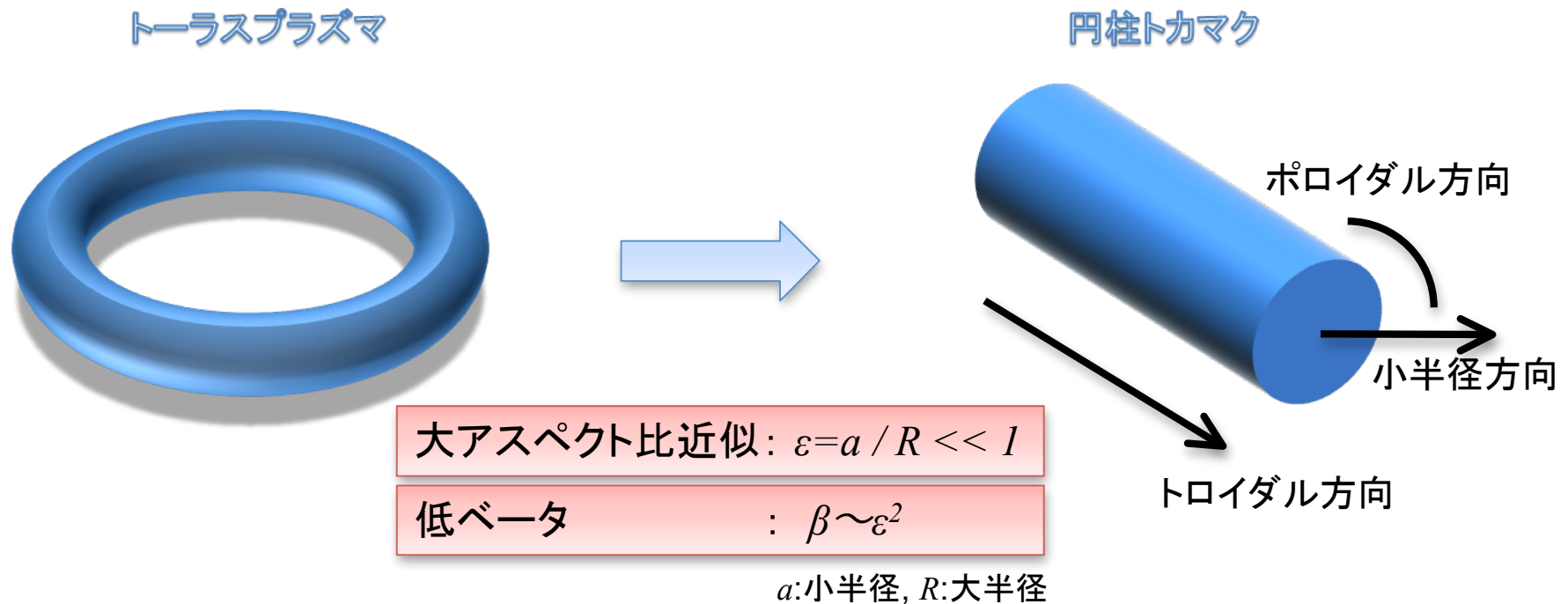
回転による抵抗性壁モードの抑制

↓
回転の減速による
抵抗性壁モードの不安定化

↓
抵抗性壁モードの成長による
ベータ値の減少

平衡流が存在するもとでの、トーラスプラズマ中における
抵抗性壁モードの非線形挙動の解明を行いたい

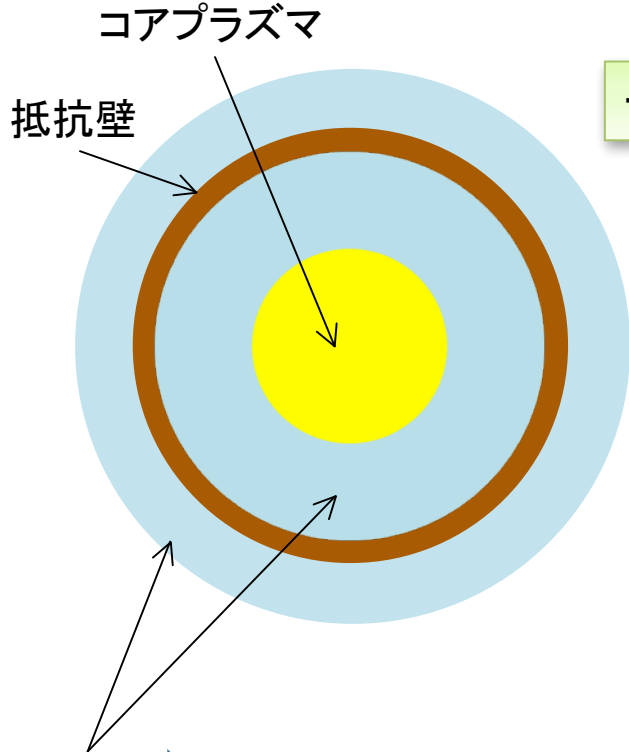
円柱トカマクモデル



ポロイダルフラックスと渦度の簡約化MHD方程式

- トロイダルカップリングの効果は含まれない。
- シングルヘリシティを仮定した2次元計算が可能。

擬真空プラズマモデル



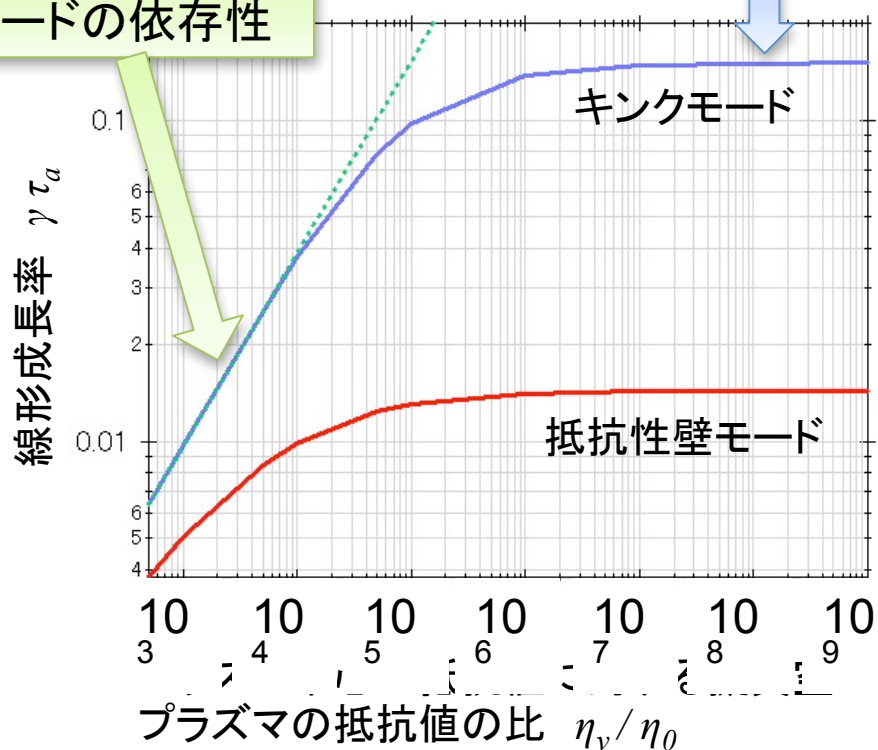
真空 \rightarrow 抵抗が非常に大きく、
密度の小さい plasma

温度と密度の方程式も一緒に解く。

plasmaと擬真空plasmaを同じ方程式で取り扱え、複雑な変形に対しても、アルゴリズムが破綻することなく計算が可能。

擬真空plasmaの抵抗に依存しない。

テアリングモードの依存性



大きな抵抗比での計算が必要

簡約化MHD方程式

$$\frac{\partial \psi}{\partial t} = -\mathbf{B} \cdot \nabla \phi + \eta J - E$$

$$\frac{\partial U}{\partial t} = -\mathbf{v}_\perp \cdot \nabla U - \frac{1}{2} \nabla \rho \times \nabla v_\perp^2 \cdot \mathbf{e}_z - \mathbf{B} \cdot \nabla J - \mathbf{e}_z \cdot \nabla \times \nabla \cdot \boldsymbol{\pi} + S_m$$

$$\frac{\partial T}{\partial t} = \mathbf{v}_\perp \cdot \nabla T$$

$$\frac{\partial \rho}{\partial t} = \mathbf{v}_\perp \cdot \nabla \rho,$$

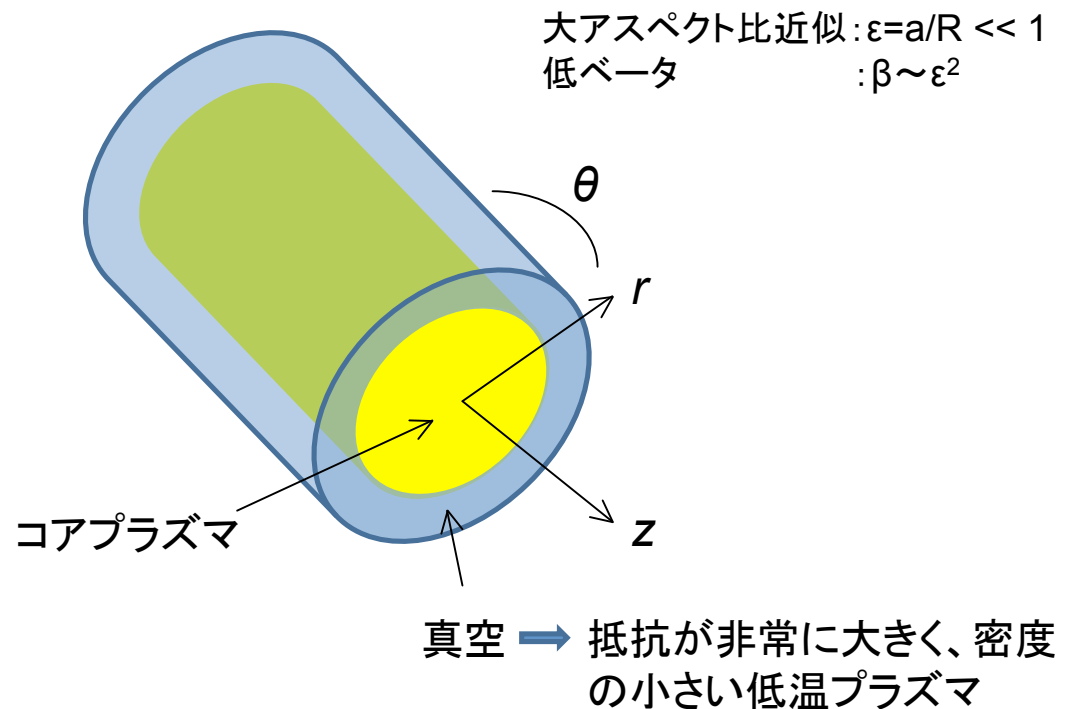
$$\mu_0 J = \nabla_\perp^2 \psi$$

$$U = \nabla \cdot (\rho \nabla_\perp \phi)$$

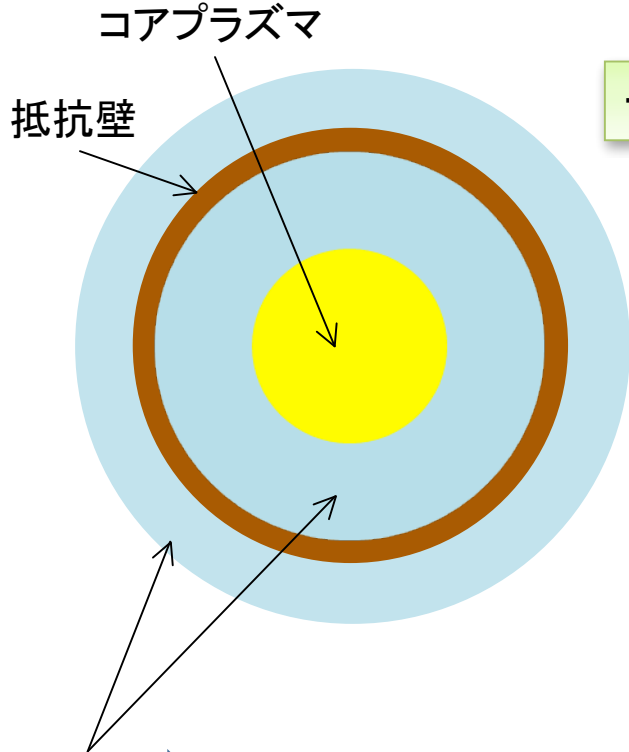
$$\eta \propto T^{-3/2}$$

$$\mathbf{B} = -\nabla \psi \times \mathbf{e}_z + B_z \mathbf{e}_z$$

$$\mathbf{v} = \nabla \phi \times \mathbf{e}_z$$



擬真空プラズマモデル



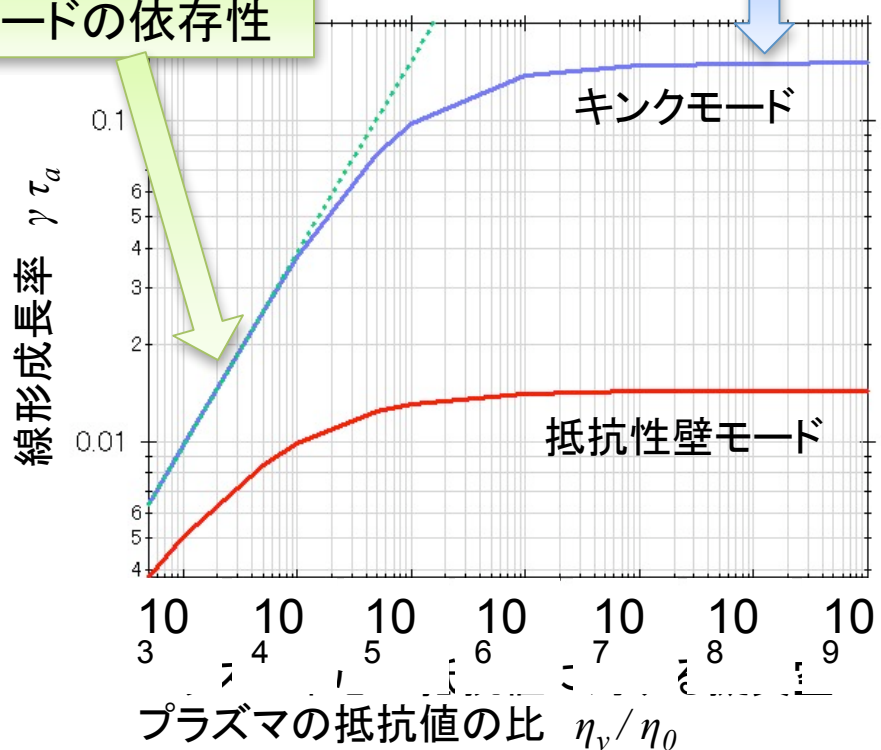
真空 \rightarrow 抵抗が非常に大きく、
密度の小さい plasma

温度と密度の方程式も一緒に解く。

plasmaと擬真空plasmaを同じ方程式
で取り扱え、複雑な変形に対しても、アル
ゴリズムが破綻することなく計算が可能。

擬真空plasmaの抵抗に依存しない。

テアリングモードの依存性



大きな抵抗比での計算が必要

計算スキーム

$$\left. \begin{array}{l} \frac{\partial \psi}{\partial t} = -\mathbf{B} \cdot \nabla \phi + \eta J - E \\ \frac{\partial U}{\partial t} = -\mathbf{v}_\perp \cdot \nabla U - \frac{1}{2} \nabla \rho \times \nabla v_\perp^2 \cdot \mathbf{e}_z \\ \quad - \mathbf{B} \cdot \nabla J - \mathbf{e}_z \cdot \nabla \times \nabla \cdot \boldsymbol{\pi} + S_m \end{array} \right\} \rightarrow \text{フーリエモード展開法}$$

$\phi_{m,n} \rightarrow \mathbf{v}_\perp(r, \theta, \zeta)$ $T(r, \theta) \rightarrow \eta_{m,n}$
 $\rho(r, \theta) \rightarrow \rho_{m,n}$

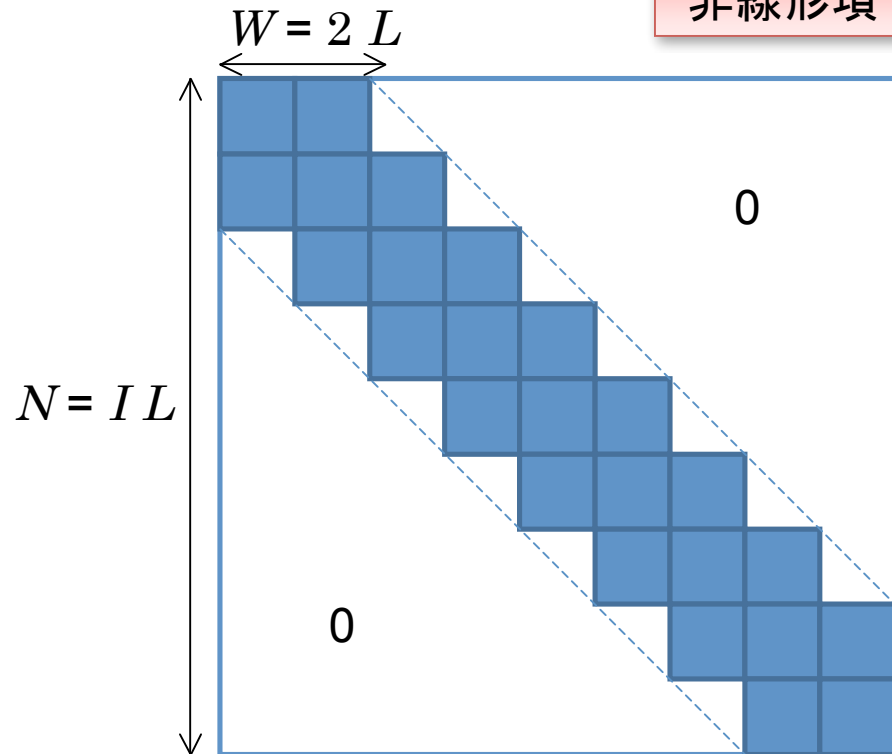
$$\left. \begin{array}{l} \frac{\partial T}{\partial t} = \mathbf{v}_\perp \cdot \nabla T \\ \frac{\partial \rho}{\partial t} = \mathbf{v}_\perp \cdot \nabla \rho \end{array} \right\} \rightarrow \text{RCIP法}$$

拡散項の取扱い

ポロイダルフラックス ψ の方程式

$$\frac{\partial \psi_{m,n}}{\partial t} = F + \eta_{eq} \nabla_{\perp}^2 \psi_{m,n} + \sum \eta_{m',n'} \psi_{m'',n''}$$

非線形項



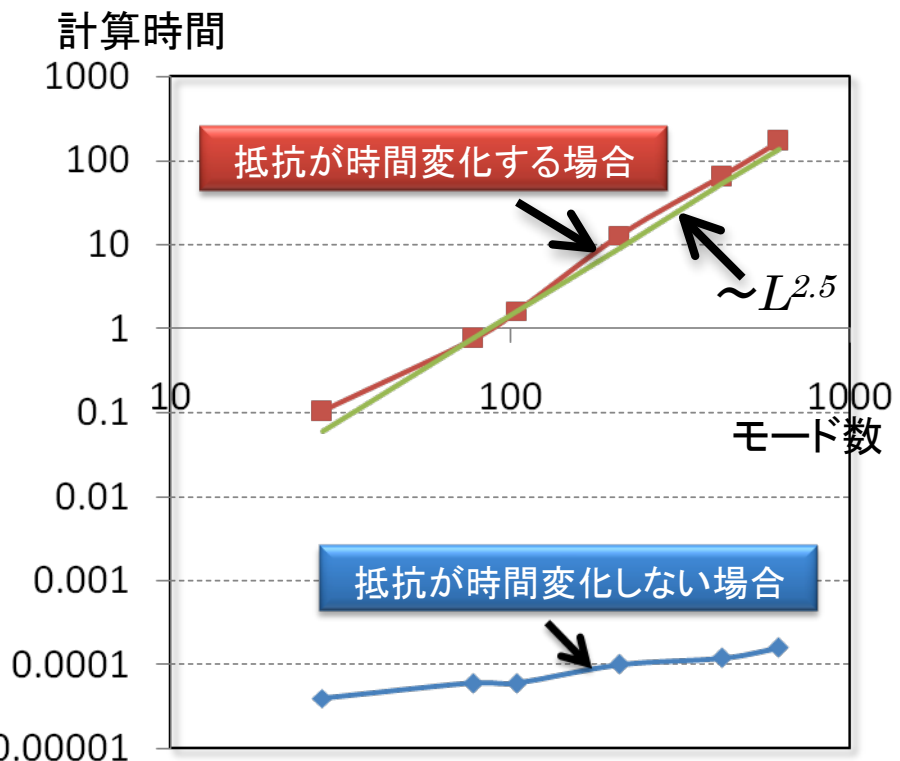
I : 小半径方向のメッシュ数
 L : モード数

抵抗が時間変化しない場合

計算量 $\sim IL$

抵抗が時間変化する場合

計算量 $\sim IL^3$



モード数に対する直接法の計算時間の依存性

抵抗性壁モードに対する回転の影響

抵抗性壁モード



壁モード



回転の大きさに対する飽和レベルの依存性

回転の大きさに飽和レベルが依存しない。

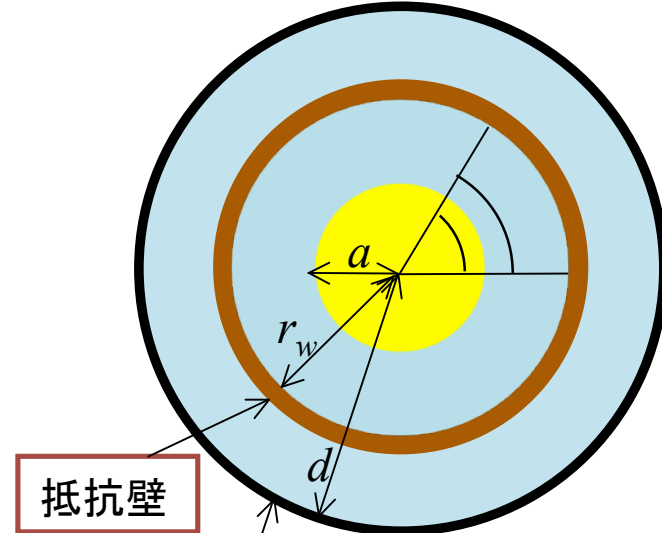
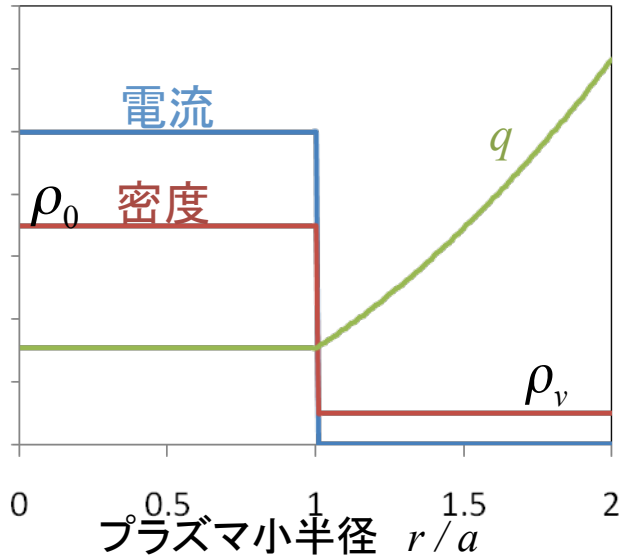
プラズマモード



回転が大きいほど、飽和レベルが小さくなる。



ステップ関数状の平衡分布に対する分散式



密度依存性、ポロイダル回転による遠心力の効果を含めた分散式

$$-(\omega - m\Omega)^2 \left\{ 1 + \frac{\rho_v}{\rho_0} \frac{1 + (a/r_w)^{-m}}{1 - (a/r_w)^{2m}} \right\} = \frac{\gamma_d^* - i\tau_w^* \gamma_w^* \omega}{1 - i\tau_w^* \omega} + (1 - \rho_v/\rho_0)(2\omega - m\Omega)\Omega$$

$$\omega = \omega_r + i\gamma$$

$$\gamma_d^2 = -2(m/q - n)^2 / (1 - (a/d)^{2m}) + 2(m/q - n)/q$$

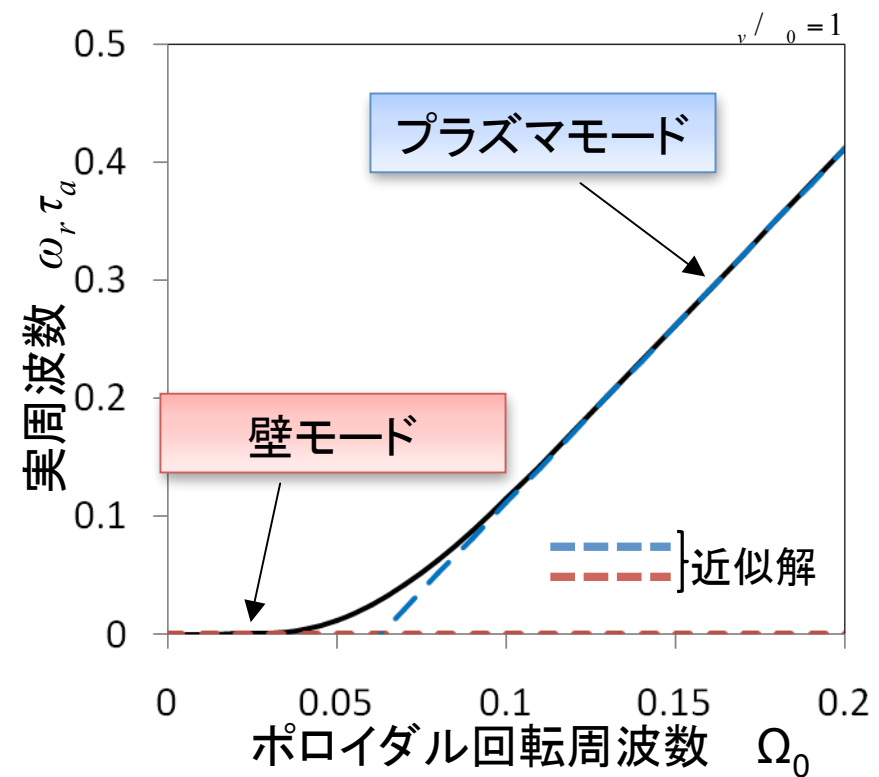
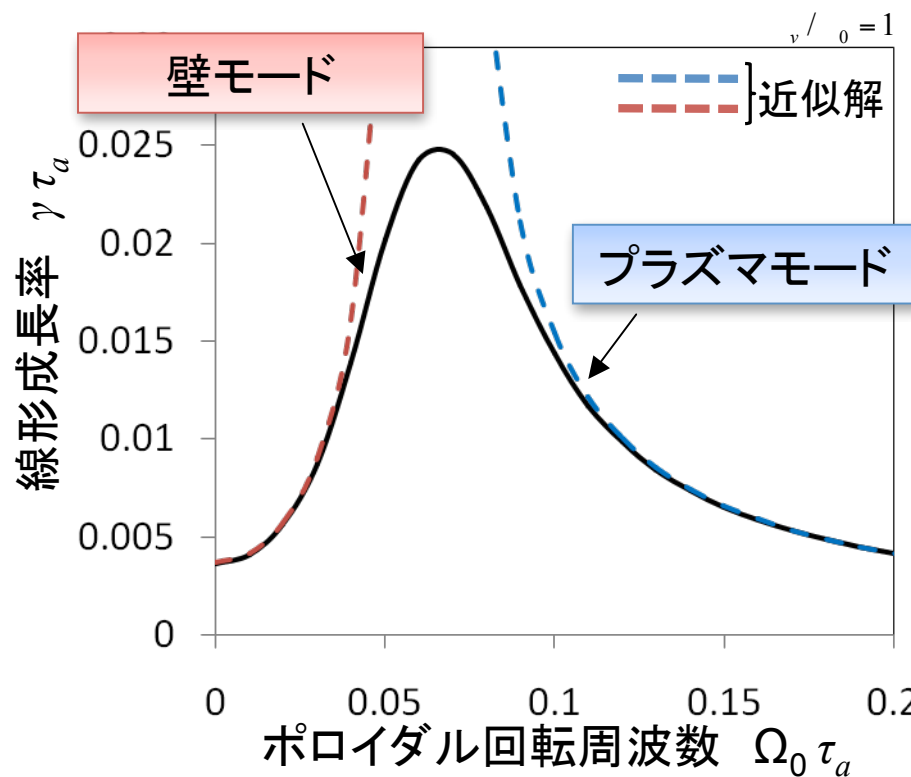
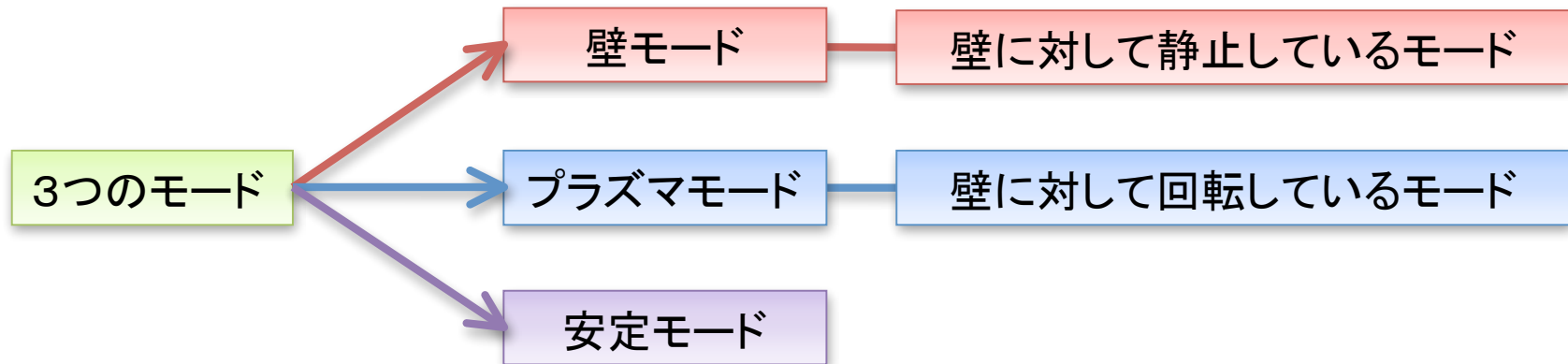
$$\tau_w^* = \frac{1 - (r_w/d)^{2m}}{1 - (a/d)^{2m}} (1 - (a/r_w)^{2m}) \frac{\tau_w}{2m}$$

Ω : Poloidal rotation frequency

m : poloidal mode number

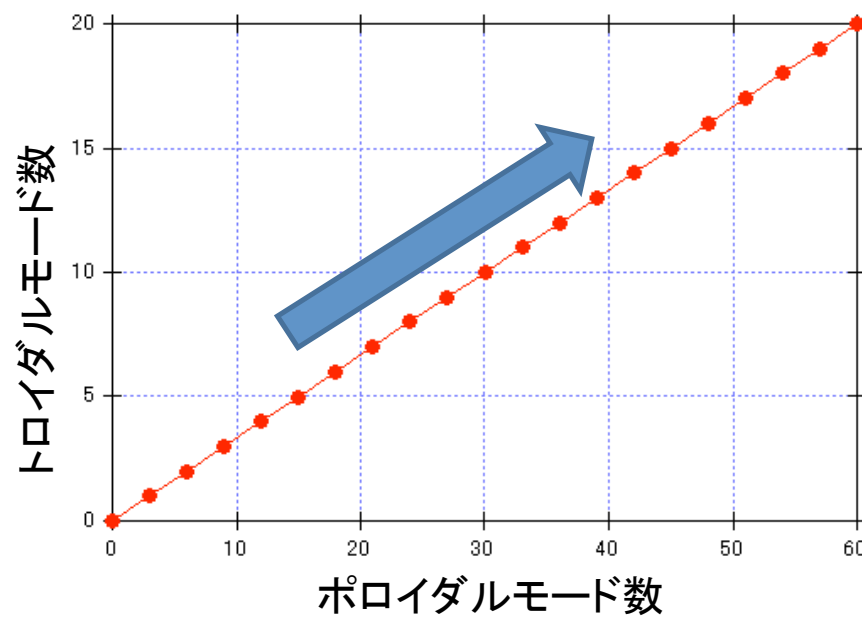
$$\tau_w = \frac{\mu_0 r_w \delta}{\eta_w}$$

分散式の解

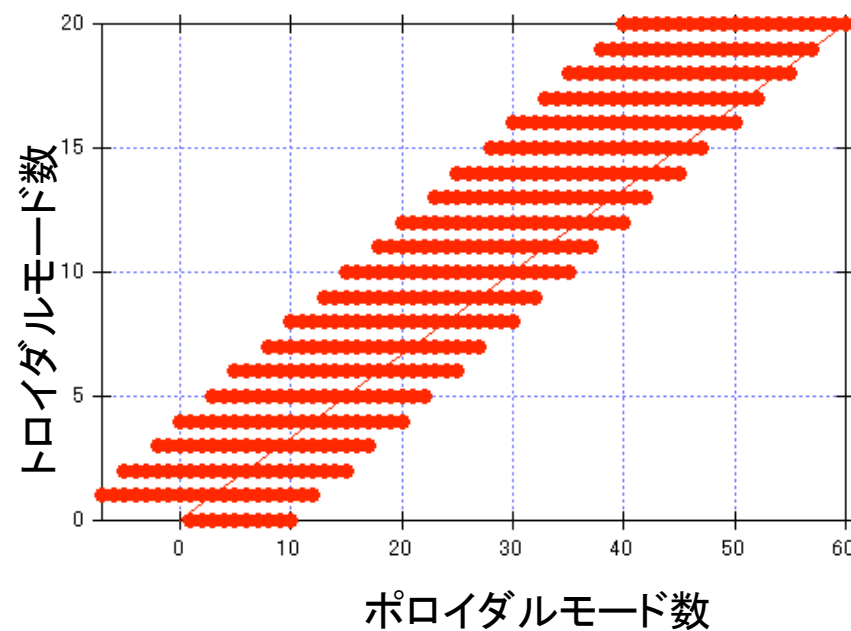


シングルヘリシティシミュレーション

シングルヘリシティ

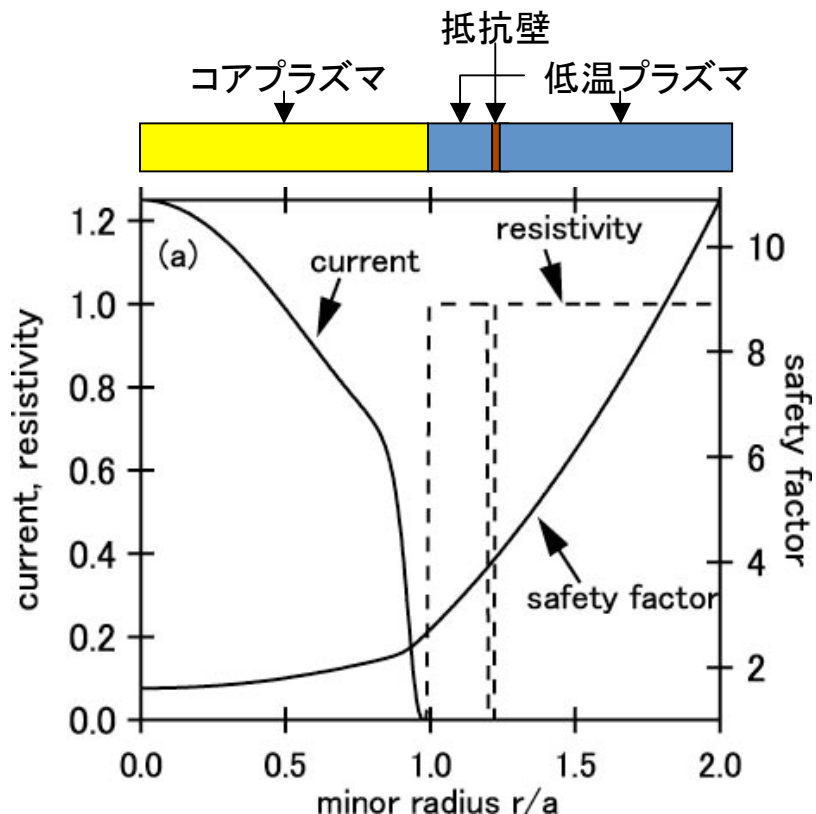


マルチヘリシティ



$m / n = \text{一定}$

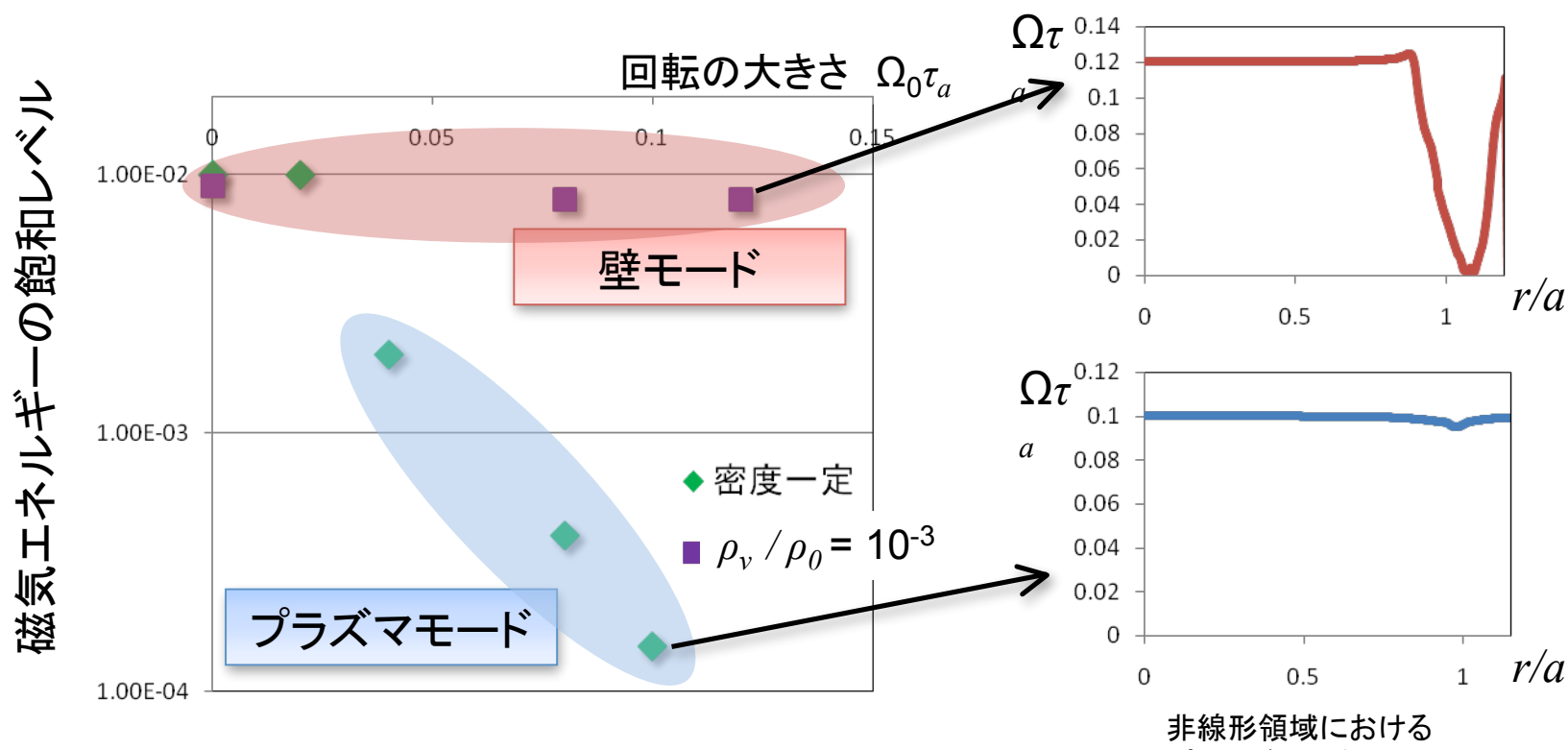
平衡分布と線形成長率



(m,n)	線形成長率($\gamma\tau_a$)	有理面の位置(r_s/a)
(3,1)	2.3×10^{-2}	1.05
(5,2)	5.8×10^{-3}	0.960
(2,1)	3.4×10^{-5}	0.708

(3,1)外部モード、(5,2)内部モードが不安定。
(2,1)内部モードの成長率は非常に小さい。

飽和レベルに対する回転の影響



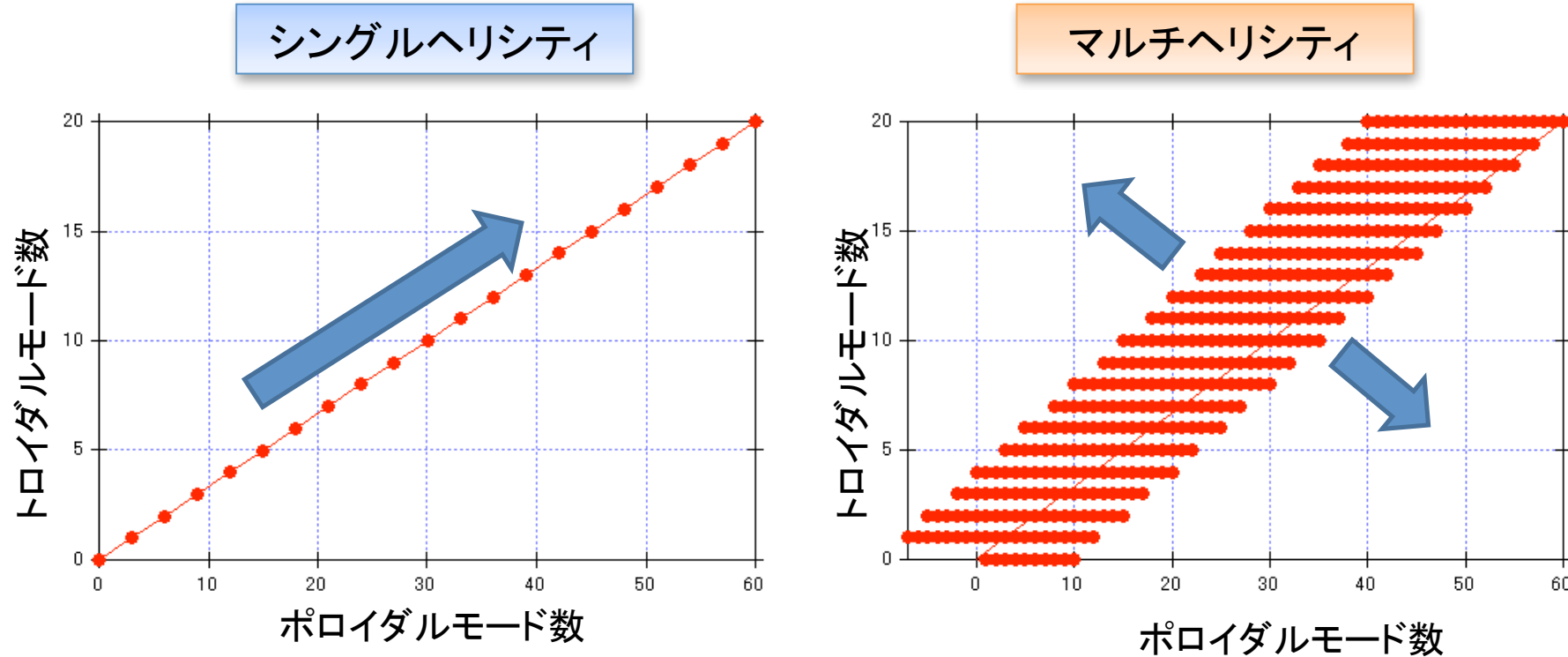
回転速度に対する依存性

回転を大きくすると…

非線形領域における
ポロイダル回転周波数

	減速トルクの絶対値	回転	飽和レベル
壁モード	大きくなる	大きく減速される	回転の大きさに依存しない
プラズマモード	小さくなる	減速されにくい	減少する

シミュレーションコードの3次元化

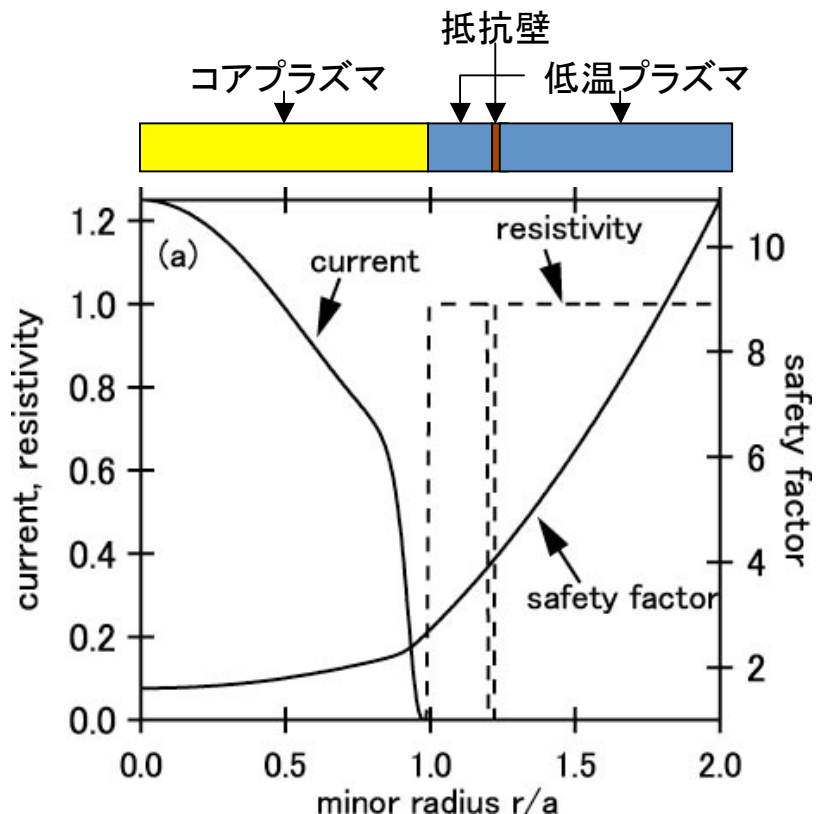


3次元化により使用するモード数の大幅な増加



計算速度の大幅な改善の必要性

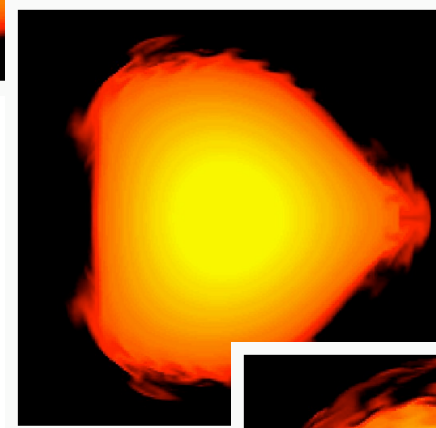
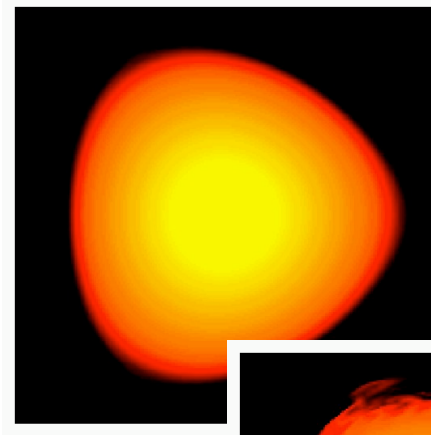
平衡分布と線形成長率



(m,n)	線形成長率($\gamma\tau_a$)	有理面の位置(r_s/a)
(3,1)	2.3×10^{-2}	1.05
(5,2)	5.8×10^{-3}	0.960
(2,1)	3.4×10^{-5}	0.708

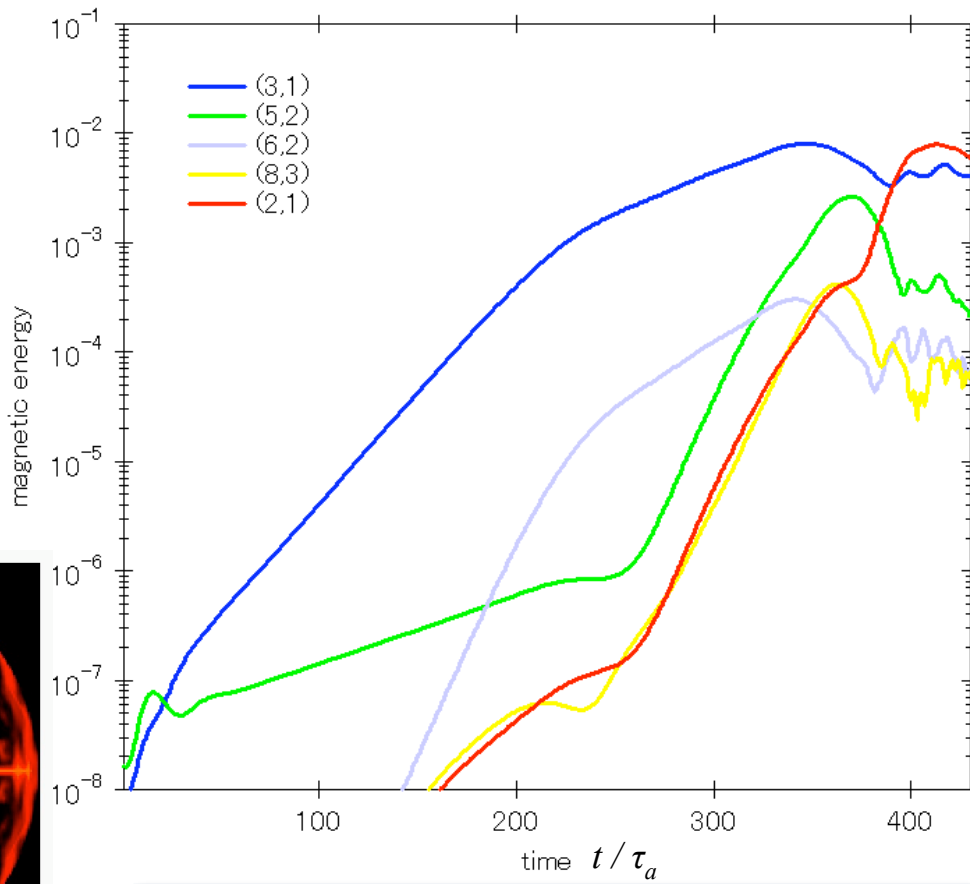
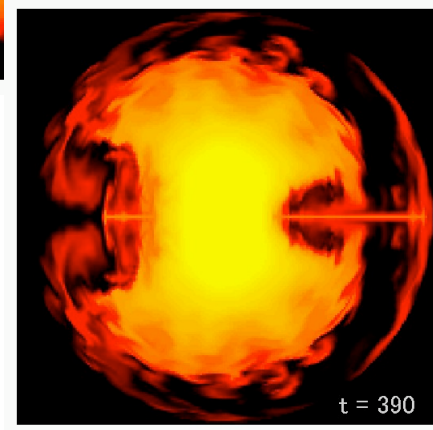
(3,1)外部モード、(5,2)内部モードが不安定。
(2,1)内部モードの成長率は非常に小さい。

プラズマ形状、磁気エネルギーの時間変化



複雑かつ大変形
な場合でも計算
が可能

使用モード数: 78個



現在、より多くのモード数を用いた計算
を行い、計算結果の妥当性を検証中。

まとめ

円柱トカマクにおいて自由境界問題を取り扱うことができる、安定に計算が可能な非線形シミュレーションコードの開発。

抵抗性壁モードの非線形挙動に対する回転の影響を明らかにした。

「壁モード」：回転を大きくしても、減速が起こり、飽和レベルは回転の大きさに依存しない。

「プラズマモード」：回転を大きくするほど、減速されにくくなり、飽和レベルが減少する。

「壁モード」と「プラズマモード」では、回転の大きさに対するモード構造のねじれやすさが異なるため、減速トルクの大きさにも依存性の違いがある。これが原因で、減速のされやすさが異なり、飽和レベルの依存性も異なった結果となる。

抵抗性壁モードの3次元シミュレーション

(3,1)の抵抗性壁モードの成長後、(2,1)モードが不安定化されディスラプションが発生する可能性があるか？